

УДК 523.44

## Координаты полюса и фазовая зависимость блеска астероида 21 Лютеция

Д. Ф. Луишко, Ф. П. Величко, И. П. Бельская, В. Г. Шевченко

Представлены результаты фотометрических наблюдений Лютеции в оппозицию 1985 г. На основе этих данных, а также наблюдений 1981 и 1983 гг. получены оценки координат полюса  $\lambda_{01}=42^\circ$ ,  $\beta_{01}=40^\circ$  или  $\lambda_{02}=223^\circ$ ,  $\beta_{02}=48^\circ$ , соотношение осей фигуры астероида 1.36 : 1.09 : 1 и фазовая зависимость блеска в области углов фаз 1.6—25°.

*POLE COORDINATES AND PHASE DEPENDENCE OF BRIGHTNESS OF THE ASTEROID 21 LUTETIA, by Lupishko D. F., Velichko F. P., Bel'skaya I. N., Shevchenko V. G.*— Photometric observations of Lutetia in 1985 are presented. Using these data as well as those of observations in 1981 and 1983 the coordinates of the pole of the asteroid  $\lambda_{01}=42^\circ$ ,  $\beta_{01}=40^\circ$  or  $\lambda_{02}=223^\circ$ ,  $\beta_{02}=48^\circ$ , the semiaxes ratios 1.36 : 1.09 : 1 and the magnitude phase dependence for phase angles ranging from 1.6 to 25° are determined.

Работа является продолжением начатого изучения [2] фотометрических свойств астероида М-типа 21 Лютеция. По наблюдениям в оппозиции 1981 и 1983 гг. определены период вращения ( $8^h 10.0^m \pm 0.1^m$ ) и линейная часть фазовой зависимости блеска этого астероида [2]. Полученные в [5] результаты фотометрии Лютеции в те же оппозиции хорошо согласуются с нашими. В 1985 г. эклиптическая долгота астероида благоприятно отличалась от предыдущих противостояний. Это позволяет оценить ориентацию оси вращения Лютеции в пространстве.

Наблюдения предназначались также для изучения фазовой зависимости блеска в области оппозиционного эффекта.

Фотоэлектрические измерения блеска Лютеции проведены в течение шести ночей в октябре 1985 г.— январе 1986 г. на 70-см рефлекторе АЗТ-8 Астрономической обсерватории Харьковского университета. В течение четырех ночей удалось наблюдать астероид при фазовых углах  $\alpha < 7^\circ$  (область оппозиционного эффекта), причем минимальный фазовый угол составил  $1.6^\circ$ .

Чтобы использовать для получения фазовой зависимости блеска наблюдения 1983 г. при  $\alpha = 1.8—1.9^\circ$  [2], была осуществлена их абсолютная привязка. Абсолютные значения блеска звезд сравнения 1983 и 1985 гг., определенные в результате привязки к фотометрическому стандарту HD 16 353 ( $V = 7.58^m$  [3]), приведены в табл. 1.

Табл. 2 содержит эклиптические координаты астероида, гео- и гелиоцентрические расстояния, угол фазы на средний момент наблюдений, а также значения блеска Лютеции в максимуме кривой блеска  $V_0(1, \alpha)$  и используемые звезды сравнения.

Наиболее продолжительные наблюдения Лютеции 4 ноября 1985 г. охватывают  $3^h 20^m$ , т. е. меньше половины периода вращения астероида. Дополняя их наблюдениями за другие даты в октябре—ноябре 1985 г. и учитывая фазовые изменения блеска Лютеции, мы получили состав-

Таблица 1. Звезды сравнения

Звезда	$\alpha_{1980}$	$\delta_{1980}$	$V$
<i>a</i>	2 <sup>h</sup> 50.8 <sup>m</sup>	12° 31'	10.96 <sup>m</sup>
<i>b</i>	2 37.2	11 41	10.30
<i>c</i>	2 33.7	11 21	10.16
<i>d</i>	2 25.5	11 07	9.10
<i>e</i>	2 17.7	12 14	10.95
<i>g</i>	8 57.13	20 50	9.86
<i>k</i>	8 50.73	21 27	10.25

ную кривую блеска в пределах всего периода вращения  $P=8^h 10.0^m$  (рис. 1). Амплитуда ее составляет  $0.08^m$  в отличие от  $0.24$  и  $0.15^m$  соответственно в 1983 и 1981 гг.

Для построения фазовой зависимости все измерения приводились к максимуму кривой блеска астероида. При фазовых углах меньших  $7^\circ$  происходит нелинейное возрастание блеска, которое аппроксимируется параболой

$$V_0(1, \alpha) = 7.27 + 0.119\alpha - 0.006\alpha^2 \quad (1)$$

с ошибкой не более  $0.02^m$ . Величина оппозиционного эффекта Лютеции составляет  $I(1^\circ)/I(5^\circ) = 1.36$  и является типичной для астероидов главного пояса [1].

Наблюдения астероида 21 Лютеция проведены только в три различные оппозиции. Однако они весьма удачно разнесены по эклипти-

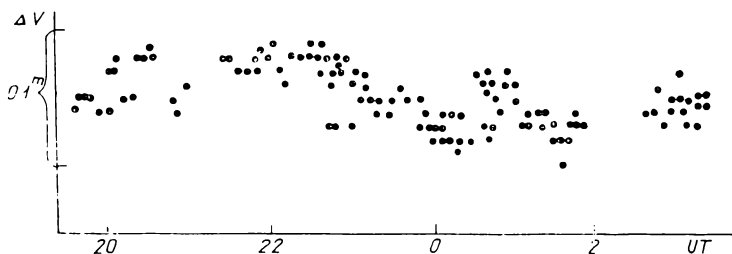


Рис. 1. Составная кривая блеска Лютеции, приведенная к 04.11.85 г.

ческой долготы и выполнены при близких фазовых углах. Это позволяет сделать оценки координат полюса и формы астероида. Эклиптические координаты астероида, фазовый угол, абсолютные звездные величины в максимуме кривой блеска  $V_0(1, \alpha)$  и приведенные к  $\alpha=2^\circ$ , а также амплитуды, которые использовались для определения ориентации оси вращения и формы Лютеции, представлены в табл. 3.

Измеренные звездные величины астероида приводились к  $\alpha=2^\circ$  по фазовой зависимости (1). Аппроксимируя форму астероида трехосным эллипсоидом и используя зависимости амплитуды кривой блеска и звездной величины астероида от аспекта методом, предложенным в [4],

Таблица 2. Аспектные данные и блеск Лютеции

Средний момент наблюдений UT	$\lambda_{1950}$ град	$\beta_{1950}$ град	$r$ , а. е.	$\Delta$ , а. е.	$\alpha$ , град	$V_0$ ( $1, \alpha$ )	Звезда срав- нения
1985 октябрь	23.754	43.92	-3.71	2.236	1.259	6.4	$7.75^m$ a
ноябрь	4.889	40.88	-3.46	2.256	1.266	1.6	7.41 b
	5.728	40.66	-3.44	2.258	1.268	1.8	7.45 b
	9.745	39.66	-3.33	2.265	1.279	3.4	7.58 c
	18.732	37.57	-3.04	2.281	1.323	8.0	7.87 d
1986 январь	6.727	36.24	-1.30	2.368	1.840	22.9	8.39 e
1983 январь	27.938	130.72	3.57	2.794	1.812	1.8	7.46 g
февраль	2.880	129.22	3.63	2.798	1.815	1.9	7.46 k

Таблица 3. Исходные данные для определения координат полюса астероида

Дата наблюдений	$\lambda_{1950}$ град	$\beta_{1950}$ град	$\alpha$ , град	$V_0(1, \alpha)$	$V_0(1, 2^\circ)$	$A$	Литературный источник
01.10.81	6.0	-5.6	2.8	$7.53^m$	$7.46^m$	$0.15^m$	[1]
02.02.83	129.2	3.6	1.9	7.51	7.50	0.24	[5]
04.11.85	40.9	-3.5	1.6	7.41	7.45	0.08	Данная статья

мы получили следующие значения координат полюса оси вращения Лютетции:

$$P_1: \lambda_0 = 42 \pm 5^\circ, \beta_0 = 40 \pm 9^\circ \text{ или } P_2: \lambda_0 = 223 \pm 7^\circ, \beta_0 = 48 \pm 7^\circ.$$

При этом соотношение осей эллипсоида, аппроксимирующего фигуру астероида, составляет 1.36 : 1.09 : 1. Рассчитанные кривые изменения амплитуды кривой блеска и звездной величины астероида с изменением его эклиптической долготы (штриховая линия — для полюса

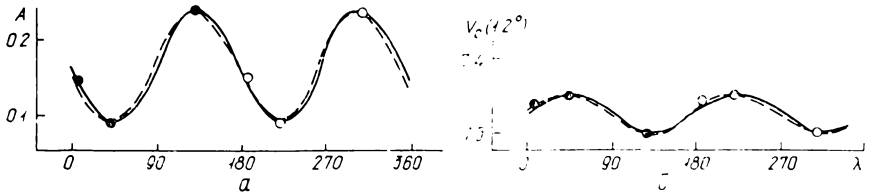


Рис. 2. Зависимость амплитуды кривой блеска (а) и звездной величины (б) Лютетции от эклиптической долготы

$P_2$ ) приведены на рис. 2. Сравнение с наблюдениями (точки) показывает хорошее соответствие для обоих решений координат полюса. Средние квадратичные ошибки координат  $P_1$  и  $P_2$  — тоже одного порядка, и сделать выбор между данными решениями пока не представляется возможным. Отметим, что это первая оценка ориентации оси вращения

Лютетии и для ее уточнения нужны наблюдения в другие эпохи, особенно при долготах  $60-100^\circ$  (или  $240-280^\circ$ ).

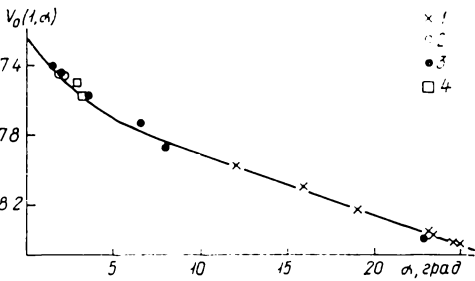


Рис. 3. Фазовая зависимость блеска Лютетии по наблюдениям: 1—1981 г.; 2—1983 г.; 3—1985 г.; 4—по данным [5]

Вариации блеска, связанные с изменением аспекта наблюдений астероида, не превышают  $0.5^m$  (рис. 2, б). Учитывая их, для построения фазовой зависимости по всем наблюдениям приводим значения блеска Лютетии к аспекту за 1985 г. и к максимуму кривой блеска. Полученная фазовая зависимость блеска по наблюдениям в три противостояния в период 1981—1986 гг., включая измерения [5], показана на рис. 3. В области  $\alpha < 7^\circ$  она описывается соотношением (1), а при  $\alpha > 7^\circ$  — следующей формулой:

$$V_0(1, \alpha) = 7.58 + 0.034\alpha. \quad (2)$$

Хорошее согласие наблюдений (рис. 3) свидетельствует об отсутствии систематических ошибок в абсолютной фотометрии Лютетии.

1. Луишко Д. Ф., Бельская И. П. Результаты астрофизических исследований астероидов. I (обзор) // Астрон. вестн.—1982.—16, № 4.—С. 195—208.
2. Луишко Д. Ф., Бельская И. П., Туниева Ф. А. Фотометрия астероида М-типа 21 Лютетия в 1981 и 1983 гг. // Письма в Астрон. журн.—1983.—9, № 11.—С. 691—694.
3. Blanco V. M., Demers S., Douglass G. G., Fitzgerald M. P. Photoelectric catalogue. Magnitudes and colors of stars in the U, B, V and U<sub>c</sub>, B, V systems // Publ. U. S. Nav. Observ.—1970.—21.—P. 1—772.
4. Zappala V., Di Martino M., Farinella P., Paolicchi P. An analytical method for the determination of the rotational direction of asteroids // Asteroids, Comets, Meteors / Eds C. I. Lagerkvist, H. Rickman.—Uppsala: Uppsala Univ., 1983.—P. 73—76.
5. Zappala V., Di Martino M., Knezevic Z., Djurasevic G. New evidence for the effect of phase angle on asteroid lightcurve shape: 21 Lutetia // Astron. and Astrophys.—1984.—130, N 1.—P. 208—210.